

بِسْمِ اللّٰهِ الرَّحْمٰنِ الرَّحِيْمِ



دانشگاه صنعتی اصفهان

دانشکده فیزیک

پایان نامه کارشناسی ارشد رشته فیزیک آقای رضا سیاوشی

تحت عنوان

## ترمودینامیک هندسی گاز جی اون G-On

در تاریخ ۱۳۸۷/۱۲/۱۸ توسط کمیته تخصصی زیر مورد بررسی و تصویب نهایی قرار گرفت.

دکتر بهروز میرزا

۱- استاد راهنمای پایان نامه

دکتر احمد شیرزاد

۲- استاد مشاور پایان نامه

دکتر فرهاد شهبازی

۳- استاد داور

دکتر کیوان آقابابایی سامانی

۴- استاد داور

دکتر فرهاد شهبازی

سرپرست تحصیلات تکمیلی دانشکده

بر خود لازم می دانم که از زحمات و حمایت های بی شائبهی خانوادهی عزیزم تشکر نمایم، از  
حمایت های دکتر میرزا در تکمیل این پایان نامه سپاس گزارم، و همچنین اساتید گرامی، دکتر شیرزاد،  
دکتر سامانی و دکتر شهبازی.

کلیه حقوق مادی مترقب بر نتایج مطالعات،  
ابتكارات و نوآوریهای ناشی از تحقیق موضوع  
این پایان‌نامه (رساله) متعلق به دانشگاه صنعتی  
اصفهان است.

## فهرست مندرجات

۱	فصل اول
۲	۱- رابطه های اساسی آمار فرمی
۴	۲- تابع توزیع فرمی
۷	۱- ۳ آمار بوز
۹	۴- ۱ یک گاز ایده آل کوانتومی در آنسامبل میکرو کانوئیک
۱۲	۱- ۵ گاز ایده آل در دیگر آنسامبل های کوانتوم- مکانیکی
۱۹	فصل دوم
۲۰	۲- ۱ تقریب گاوی و نظریه کلاسیک افت و خیز گرمایی
۲۳	۲- ۲ گازهای ایده آل در دو بعد
۲۵	۳- ۲ مکانیک کوانتومی آنیون ها
۳۰	فصل سوم
۳۱	۳- ۱ مقدمه ای بر ترمودینامیک هندسی
۳۳	۳- ۲ هندسه‌ی متریک فضای پارامتر
۳۵	۳- ۳ ساختار هندسی فضای پارامتربرای سیستمی که به وسیله‌ی توزیع گراند کانوئیک توصیف می‌شود
۴۴	فصل چهارم
۴۴	۴- ۱ خواص ترمودینامیکی گاز ایده آل با آمار کسری

۲-۴ : انحنای ترمودینامیکی گاز آنیونی.....	۵۰
۳-۴ خواص ترمودینامیکی و انحنای ترمودینامیکی یک گاز g-on.....	۵۳
۴-۴ خواص ترمودینامیکی و انحنای ترمودینامیکی g-on در حالت فرانسیستی .....	۵۸
۴-۵ خواص ترمودینامیکی و انحنای ترمودینامیکی آنیونی در حالتی که روی انرژی تصحیحی نداریم.....	۶۰
۴-۶ نتیجه گیری.....	۶۴
پیوست ۱.....	۶۵
پیوست ۲.....	۶۷

## چکیده

برخی از خواص ترمودینامیکی گازهای ایده‌آل کونتومی می‌تواند به وسیله‌ی انحنای ریمانی  $R$  مربوط به فضای پارامترهای ترمودینامیکی آن گاز محاسبه شود. مولفه‌های تاسور متريک در این حالت می‌توانند مشتق‌های مرتبه‌ی دوم انرژی داخلی یا آنتروپی سیستم و یا پتانسیل‌های ترمودینامیکی که تبدیل لثاندر آنتروپی یا انرژی داخلی هستند باشند. به این ترتیب انحنای ترمودینامیکی تابعی از مشتقات دوم و سوم این کمیت‌ها می‌باشد. هر اندازه انجنای ترمودینامیکی کوچکتر باشد، گاز ایده‌آل کونتومی مورد مطالعه پایدارتر است. در حالتی که یک گاز ایده‌آل بوزونی را در نظر بگیریم، انحنای ترمودینامیکی مثبت به دست می‌آید. و اگر گاز ایده‌آل فرمیونی را در نظر بگیریم، انحنای ترمودینامیکی منفی به دست می‌آید. که این خود نشان از پایداری بیشتر گاز فرمیونی به نسبت گاز بوزونی است.

در این پایان‌نامه انجنای ترمودینامیکی را برای ذرات با آمار کسری در دو بعد (آئیون‌ها) و در  $n$  بعد (جی‌اون‌ها) با تصحیحات مختلف انرژی در ناحیه‌ی کلاسیک ماکسول بولتزمان استخراج می‌کنیم. می‌بینیم که در یک حالت خاص این انجنا دارای مقدار صفر است. نواحی که انجنای ترمودینامیکی مثبت و یا منفی هستند به دست آمده است. با به دست آمدن این نواحی مثبت و منفی،

می‌توانیم نواحی با پایداری بیشتر (شبه فرمیونی) و نواحی با پایداری کمتر (شبه بوزونی) را مشخص کیم.

**واژه‌های کلیدی:** گاز ایده‌آل کوانتومی، گاز فرمی، گاز بوز، گاز آنیونی، گاز جی‌اون، انجنای ترمودینامیکی

## مقدمه

در این فصل ابتدا به مروری در مورد آمار فرمیون ها و بوزن ها می پردازیم. مطالعه‌ی مکانیک آماری حاکم بر فرمیون ها و بوزن ها منشاء ایجاد یک دیدگاه کلی تر بر ذرات با آمار کسری است. زیرا این ذرات از لحاظ آماری رفتاری بینابین فرمیون ها و بوزن ها دارند. سپس رفتار یک گاز ایده آل در آنسامبل میکروکانیک را به عنوان نمونه بررسی می کنیم، و رابطه های مربوط به آمار عدد اشغال که در فصل های بعد باز هم در مورد آن بحث خواهیم کرد، را استنتاج می کنیم، و در پایان به اختصار در مورد آمار-اسپین دار صحبت می کنیم.

## فصل اول

## آمار فرمیونی و بوزونی

مشخصه های آمارهای فرمی و بوز با آمار کلاسیک ماسکول بولترمان متفاوت است. شرط زیر ناحیه ای را مشخص می کند که در آن تفاوت هایی بین آمارهای فرمی و بوز با آمار کلاسیک ماسکول-بولترمان به وجود می آید:

$$\frac{N}{V} \geq \frac{(2\lambda m K T)^{\frac{1}{2}}}{h^3} \rightarrow n \lambda^3 \geq 1 \quad (1-1)$$

که در آن  $V$  حجم گاز،  $N$  تعداد ذرات موجود در این حجم،  $K$  ثابت بولترمان،  $m$  جرم تک ذره ی گاز، و  $h$  ثابت پلانک و  $n$  تعداد ذرات در واحد حجم سیستم می باشند. نیز طول  $\lambda \equiv \frac{h}{(2\lambda m K T)^{\frac{1}{2}}}$  موج گرمایی میانگین ذرات است.

همان طور که می دانیم فرمیون ها و بوزون ها را نمی توان با آمار ماسکول-بولترمان مطالعه کرد، بنا بر این برای مطالعه ای این ذرات از مکانیک کوانتومی استفاده می کنیم، با توجه به این رابطه که شرط مخالف ماسکول-بولترمان را نشان می دهد، می بینیم که اثرات مکانیک کوانتومی در دماهای پائین و چگالی های بالا خود را نشان می دهد.

### ۱-۱ رابطه های اساسی آمار فرمی:

ذراتی که از آمار فرمی تبعیت می کنند، فرمیون نامیده می شوند. در یک سیستم فرمیونی، میانگین عدد اشغال یک ذره در حالت  $\tau$  به صورت:

$$\bar{n}_\tau = \frac{1}{e^{\frac{(\varepsilon_\tau - \mu)}{kT}} + 1} \quad (1-2)$$

داده می شود. که در آن  $\varepsilon$  انرژی حالت کوانتومی  $\tau$  و  $\mu$  پتانسیل شیمیایی است.

برای توزیع فرمیونی، گاهی  $\mu$  را سطح فرمی می‌نامند (به آن انرژی فرمی نیز می‌گویند، که خیلی مناسب نیست اما متداول شده است). اگر کل انرژی سیستم جمع تمام انرژی‌های تک ذره‌ای باشد، در نهایت انرژی کل  $E$  برابر می‌شود با:

$$E = \sum_{\tau} \varepsilon_{\tau} \bar{n}_{\tau} = \sum_{\tau} \frac{\varepsilon_{\tau}}{e^{\frac{(\varepsilon_{\tau}-\mu)}{KT}} + 1} \quad (1-3)$$

و تعداد کل ذرات سیستم عبارت است از:

$$N = \sum_{\tau} \bar{n}_{\tau} = \sum_{\tau} \frac{1}{e^{\frac{(\varepsilon_{\tau}-\mu)}{KT}} + 1} \quad (1-4)$$

و انرژی آزاد با رابطه‌ی زیر داده می‌شود:

$$F = N\mu - KT \sum_{\tau} \log(1 + e^{-(\varepsilon_{\tau}-\mu)/KT}) \quad (1-5)$$

روابط (۱-۲) تا (۱-۵) را می‌توان به روش‌های مختلف زیر تفسیر کرد.

۱- زمانی که  $T$  و  $\mu$  را داده باشند (هنگامی که سیستم در تماس با یک منبع گرمایی و یک منبع ذره‌ای باشد) (۱-۲) میانگین عدد اشغال یک حالت تک ذره‌ای را نشان می‌دهد و (۱-۳) میانگین انرژی کل و (۱-۴) میانگین کل ذرات سیستم را به ما می‌دهد.

۲- زمانی که  $T$  و  $N$  را داده باشند،  $\mu$  از رابطه‌ی (۱-۴) به عنوان تابعی از  $T$  و  $N$  داده می‌شود (۱-۲) و (۱-۳) به ترتیب میانگین عدد اشغال و میانگین کل انرژی را به ما می‌دهند.

۳- زمانی که  $E$  و  $N$  را داده باشند،  $T$  و  $\mu$  با استفاده از روابط (۱-۳) و (۱-۴) به عنوان تابعی از  $E$  و  $N$  به دست می‌آیند. و (۱-۲) میانگین عدد اشغال را می‌دهند.

چگالی حالت تک ذره:

اگر  $V$  را حجم فضایی که ذرات در آن محبوس شده‌اند در نظر بگیریم. زمانی که  $V$  بزرگتر می‌شود، توزیع تراز‌های تک ذره‌ای متراکم‌تر می‌شوند. برای یک حجم نسبتاً بزرگ، تعداد حالت‌هایی که انرژی بین  $\varepsilon$  و  $\varepsilon + \Delta\varepsilon$  دارند به صورت زیر نوشته می‌شوند:

$$D(\varepsilon)\Delta\varepsilon$$

چگالی حالت تک ذره است بر حسب این چگالی حالت روابط (۱-۵) - (۱-۳) به صورت زیر نوشته می

شوند:

$$E = \int \varepsilon f(\varepsilon) D(\varepsilon) d\varepsilon \quad (1-6)$$

$$N = \int f(\varepsilon) D(\varepsilon) d\varepsilon \quad (1-7)$$

$$F = N\mu - KT \int \log(1 + e^{-(\varepsilon - \mu)/KT}) D(\varepsilon) d\varepsilon \quad (1-8)$$

که

$$f(\varepsilon) = \frac{1}{e^{\beta(\varepsilon - \mu)} + 1} \quad (1-9)$$

## ۲-۱ تابع توزیع فرمی :

تابع  $f(\varepsilon)$  که با رابطه  $(1-9)$  مشخص می شود تابع توزیع فرمی نامیده می شود. شکل  $(1-1)$  شکل این تابع را بر حسب  $\varepsilon$  نمایش می دهد. در حد  $T \rightarrow 0$  این منحنی به شکل یک پله تیز است. ولی در دماهای محدود، شکل پله ای تابع با عرض در حدود  $KT$  در دو طرف  $\mu = \varepsilon$  گستردگی شده است. شکل  $(1-2)$  مثال هایی از  $D(\varepsilon)f(\varepsilon)$  را نشان می دهد.

$(\varepsilon_0 = 0)$  پائین ترین انرژی حالت های تک ذره ای است.

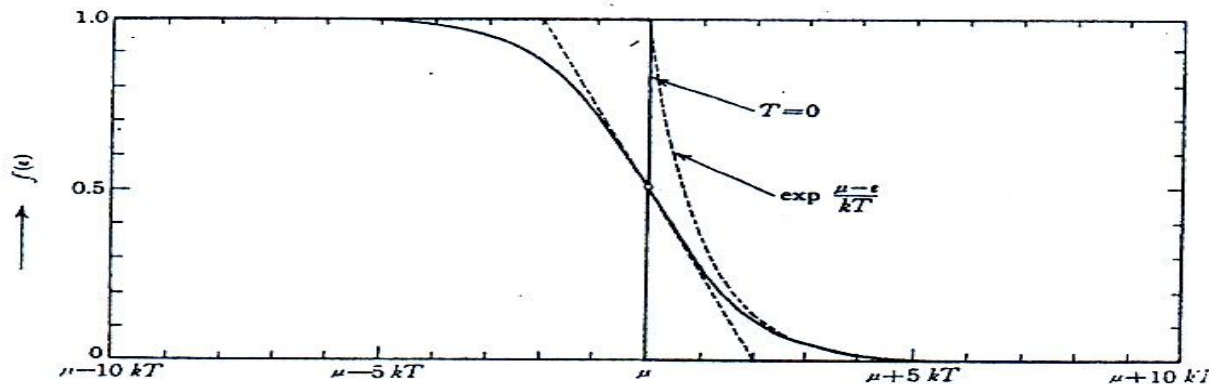
$T = 0^0K$  ، مقدار  $\mu_0$  از  $\mu$  در صفر کلوین به صورت زیر مشخص می شود:

$$N = \int_{\varepsilon_0}^{\mu_0} D(\varepsilon) d\varepsilon = a$$

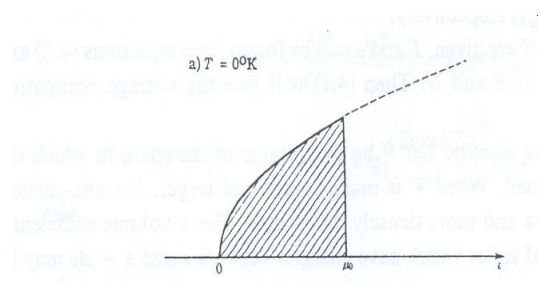
قسمت هاشور خورده ای منحنی در دمای صفر کلوین است و

$$E_0 = \int_{\varepsilon_0}^{\mu_0} \varepsilon D(\varepsilon) d\varepsilon$$

پائین ترین انرژی سیستم است.

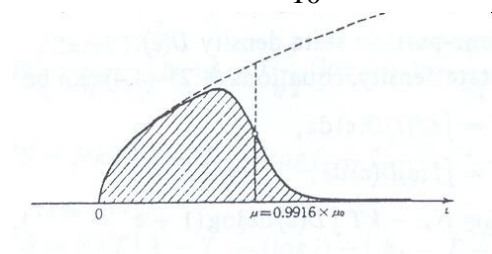


شکل (۱-۱) : نمودار تابع توزیع فرمی

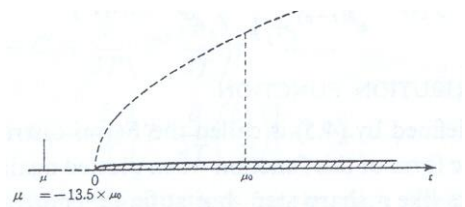
شکل (۱-۲) :  $(\varepsilon_0 = 0)$ 

a)  $T = 0^{\circ}K$

b) دماهای پائین :  $KT = \frac{1}{10} \mu_0$



c) دماهای بالا :  $KT = 5\mu_0$



(شکل: ۱-۲) (۱-۲)

:  $T_0 = (\mu_0 - \epsilon_0)/K$  ،  $T \ll T_0$  ،  $T \neq 0$  (b)

مقدار  $\mu$  با شرط زیر تعیین می شود :

$$N = \int D(\epsilon) f(\epsilon) d\epsilon = b$$

$\mu$  تابعی از  $T$  است و سطح فرمی در  $T^{\circ}K$  نامیده می شود. همان طور که در شکل (۱-۲-b) نشان داده شده است، در دماهای پائین  $\mu$  از  $\epsilon_0$  بزرگتر است.

:  $T \gg T_0$  ،  $T \neq 0$  (c)

در دماهای نسبتاً بزرگ  $\mu$  کوچکتر از  $\epsilon_0$  می شود. این مساله در شکل (c-۲-۱) نشان داده شده است. در این مورد توزیع فرمی ممکن است توسط توزیع بولتزمان جایگزین شود (حد کلاسیک).

(۱) رابطه ای برای حالت های واگن:

(e)  $g$  را تابعی پیوسته و مشتق پذیر در  $\mu = \epsilon$  در نظر گرفته و تغییراتش را در بازه  $\epsilon - \mu$  کند

فرض می کنیم. سپس خواهیم داشت :

$$\int_{\epsilon_0}^{\infty} g(\epsilon) f(\epsilon) d\epsilon = \int_{\epsilon_0}^{\mu} g(\epsilon) d\epsilon + \frac{\pi^2 (KT)^2}{6} + g'(\mu) + \frac{7\pi^4}{360} (KT)^4 g''(\mu) + \dots \quad (1-10)$$

یا:

$$-\int_{\epsilon_0}^{\infty} \phi(\epsilon) \frac{df}{d\epsilon} d\epsilon = \phi(\mu) + \left(\frac{\pi^2}{6}\right) (KT)^2 \phi''(\mu) + \frac{7\pi^4}{360} (KT)^4 \phi^{(IV)}(\mu) + \dots$$

که :

$$\phi' = g \quad , \quad \phi(\varepsilon_0) = 0 \quad (1-11)$$

رابطه‌ی (۱-۱۰) دارای کاربردهای بسیار است که یکی از مهمترین آن‌ها رابطه‌ای است که برای  $\mu$  در

دماهای پائین داریم:

$$\mu = \mu_0 \left\{ 1 - \frac{\pi^2}{6} \frac{d \log D(\mu_0)}{d \log \mu_0} \left( \frac{KT}{\mu_0} \right)^2 + \dots \right\} \quad (1-12)$$

### ۱-۳-آمار بوز:

برای بوزون‌ها رابطه‌های زیر را داریم:

$$\bar{n}_\tau = \frac{1}{e^{\beta(\varepsilon_\tau - \mu)} - 1} \quad (1-13)$$

$$E = \sum_\tau \varepsilon_\tau \bar{n}_\tau = \sum_\tau \frac{1}{e^{\beta(\varepsilon_\tau - \mu)} - 1} \quad (1-14)$$

$$N = \sum_\tau \bar{n}_\tau = \sum_\tau \frac{1}{e^{\beta(\varepsilon_\tau - \mu)} - 1} \quad (1-15)$$

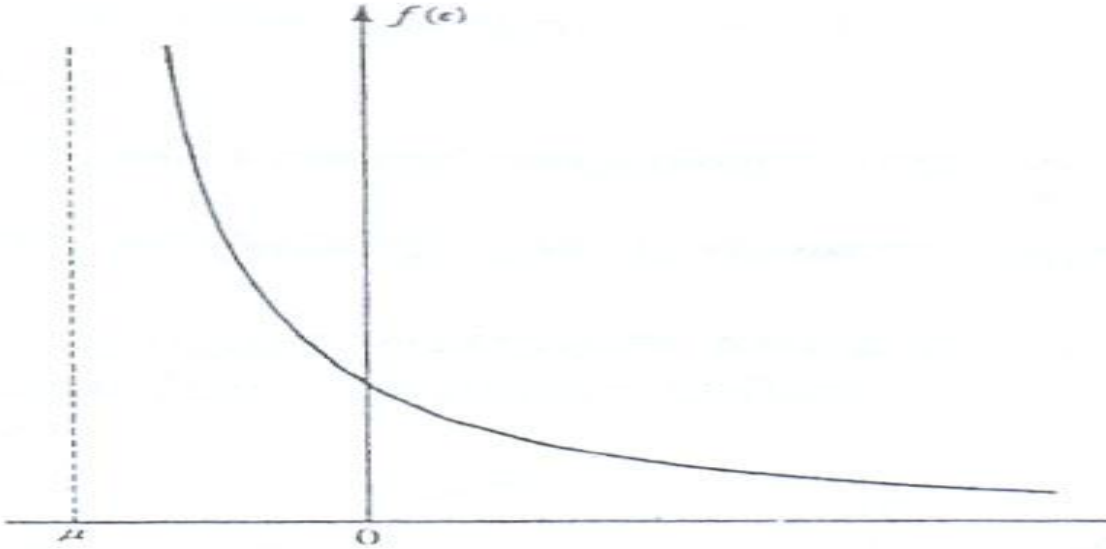
$$F = N\mu + KT \sum_\tau \log(1 - e^{-\beta(\varepsilon_\tau - \mu)}) \quad (1-16)$$

در اکثر موارد تعداد ذرات یعنی  $N$  معلوم است و از رابطه‌ی (۱-۱۴)،  $\mu$  را به عنوان تابعی از  $T$  و  $V$  به دست می‌آوریم.

تابع:

$$f(\varepsilon) = \frac{1}{e^{\beta(\varepsilon - \mu)} - 1} \quad (1-17)$$

تابع توزیع بوز نامیده می‌شود. همانطور که در شکل (۱-۴) نشان داده شده است، زمانی که  $\varepsilon \rightarrow \mu$ ،  $f(\varepsilon)$  بی‌نهایت می‌شود. بنابراین، اگر پائین ترین انرژی تک ذره صفر انتخاب شود، بایستی داشته باشیم  $0 \leq \mu$ .



شکل (۱-۴) : تابع توزیع بوز

هنگامی که شرط  $|μ| > KT$  ارضاء شود، سیستم غیرواگن می‌شود و آمار بوز با آمار ماکسول-بولتزمان جایگزین می‌شود. و هنگامی که شرط  $|μ| \sim KT$  برآورده شود، تبهگنی قابل توجهی وجود دارد- این شرط ممکن است برای ذرات ازاد به صورت زیر بیان شود:

$$\frac{N}{V} > \frac{(2\lambda m K T)^{\frac{1}{2}}}{h^3} \quad (1-18)$$

#### ۱-۴ یک گاز ایده آل کوانتومی در آنسامبل میکروکانونیک :

یک سیستم گازی متشکل از  $N$  ذره‌ی تمیزناپذیر که با هم برهم کنش ندارند و در حجم  $V$  محبوس را با انرژی کل  $E$  در نظر می‌گیریم. کمیت آماری مورد علاقه‌ی ما در این حالت  $\Omega(N, V, E)$  است که تعداد میکروحالتهای قابل دستیابی سیستم، زمانی که ماکرو‌حالت ما  $(N, V, E)$  باشد را مشخص می‌کند.

از آنجا که برای حجم بزرگ  $V$ ، سطوح انرژی تک ذره‌ی سیستم بسیار به یکدیگر نزدیک باشند، می‌توانیم طیف انرژی را به تعداد زیادی "گروههای سطوح انرژی" تقسیم کنیم، که ممکن است انرژی یک سلول را مشخص کند. شکل (۱-۵) را میانگین انرژی یک سطح در نظرمی‌گیریم و  $g_i$  تعداد دلخواهی از سطوح در سلول  $i$  ام هستند ( $I >> g_i$ ). در شرایط خاص  $n_1$  ذره در سلول ۱،  $n_2$  ذره در سلول دوم الی آخر. بهوضوح باید شرایط زیر را در مورد یک مجموعه  $\{n\}$  داشته باشیم:

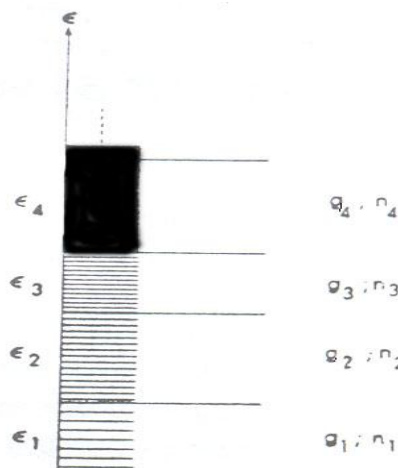
$$\sum_i n_i = N \quad (1-19)$$

$$\sum_i n_i \varepsilon_i = E \quad (1-20)$$

سپس خواهیم داشت:

$$\Omega(N, V, E) = \sum_{\{n_i\}} W\{n_i\} \quad (1-21)$$

که  $\{W\{n_i\}$  تعداد میکروحالتهای مجزای مرتبه با مجموعه توزیع  $\{n_i\}$  است.



شکل(۱-۵)

سپس خواهیم داشت :

$$W\{n_i\} = \prod_i W(i) \quad (1-22)$$

که  $W(i)$  تعداد میکرو حالت های مرتبط با طیف  $i$  امین سلول است (سلولی که  $n_i$  ذره بین  $g_i$  سطح توزیع شده‌اند). ضرب در رابطه (1-22) بر روی تمامی سطوح در طیف است. بنابراین واضح است که  $W(i)$  تعداد راه‌هایی است که می‌توان  $n_i$  ذره را در بین  $g_i$  سطح در سلول  $i$  ام قرار داد می‌باشد این تعداد در حالت بوز اینشتین به صورت زیر داده می‌شود:

$$W_{B.E} = \frac{(n_i + g_i - 1)!}{n_i!(g_i - 1)!} \quad (1-23)$$

در نتیجه‌ی

$$W_{B.E} = \prod_i \frac{(n_i + g_i - 1)!}{n_i!(g_i - 1)!} \quad (1-24)$$

و اما در حالت فرمی-دیراک هیچ سطحی نمی‌تواند بیش از یک ذره در برداشته باشد. بنابراین ، تعداد  $n_i$  باید از  $g_i$  بیشتر باشد. تعداد راه‌های  $W(i)$  با تعداد راه‌هایی که  $g_i$  می‌تواند به دو زیرگروه که یکی  $n_i$  سطح را در بر دارد (هر کدام به وسیله‌ی یک ذره اشغال شده‌اند) و یک زیرگروه دیگر که شامل  $(g_i - n_i)$  سطح است که اشغال نشده‌اند. این تعداد برابرند با :

$$W_{F.D} = \frac{g_i!}{n_i!(g_i - n_i)!} \quad (1-25)$$

که نتیجه‌ی زیر را می‌دهد :

$$W_{F.D}\{n_i\} = \prod_i \frac{g_i!}{n_i!(g_i - n_i)!} \quad (1-26)$$

برای کامل تر شدن بحث مان، حالت کلاسیکی که عموماً آن را ماکسول-بولتزمان می‌خوانند را نیز مطالعه می‌کنیم. در این مورد ذرات ما تمیزپذیرند. بنابراین هر کدام از  $n_i$  ذره می‌توانند در هر سطح با عدد  $g_i$  قرار بگیرند، بدون این که به یکدیگر وابستگی داشته باشند. بنابراین تعداد راه‌ها در این حالت برابر است با  $(g_i)^{n_i}$ .

علاوه بر این ، مجموعه توزیع  $\{n_i\}$  توسط :

$$\frac{N_i!}{n_1!n_2!n_3!...} \quad (1-27)$$

راه در دسترس است که با معرفی ضریب تصحیح گیبس به یک تابع وزن منجر می شود :

$$\frac{1}{n_1!n_2!...} = \prod_i \frac{1}{n_i!} \quad (1-28)$$

اگر این دو نتیجه را با هم ترکیب کنیم خواهیم داشت .

$$W_{M.B}\{n_i\} = \prod_i \frac{g_i n_i!}{n_i!} \quad (1-29)$$

در حالت کلی آنتروپی سیستم عبارت است از :

$$S(N, V, E) = k \ln \Omega(N, V, E) = k \ln \left[ \sum_{\{n_i\}} W\{n_i\} \right] \quad (1-30)$$

با توجه به تعداد زیاد ذرات سیستم، لگاریتم جمع در رابطه  $(1-30)$  به وسیله‌ی جمله‌ی اول تخمین زده می شود. و بنابراین می‌توانیم رابطه  $(1-30)$  را با رابطه زیر جایگزین کنیم.

$$S(N, V, E) \cong W\{n_i^*\} \quad (1-31)$$

که  $\{n_i^*\}$  مجموعه توزیعی است که  $W\{n_i^*\}$  را ماکزیمم می‌کند. تعداد  $n_i^*$  به وضوح محتمل ترین مقدار تعداد توزیع  $n_i$  است. در ماکزیمم کردن  $n_i$  باید توجه شود که  $N$  و  $E$  ثابت بمانند. با استفاده از ضرایب نامعین لاگرانژ می‌توان محتمل ترین حالت  $n_i^*$  را بدست آورده بعد از کمی محاسبات [۱] داریم :

$$\ln W_{\{n_i\}} \cong \sum_i \left[ n_i \ln \left( \frac{g_i}{n_i} - a \right) - \frac{g_i}{a} \ln \left( 1 - a \frac{n_i}{g_i} \right) \right] \quad (1-32)$$

که  $a = -1$  مربوط به حالت بوز-ایشتین و  $a = 1$  برای حالت فرمی-دیراک و  $a = 0$  برای حالت ماکسول-بولتزمان است. و در نهایت برای  $n_i^*$  خواهیم داشت:

$$n_i^* = \frac{g_i}{e^{\beta(\epsilon_i - \mu_i)} + a} \quad (1-33)$$

برای آنتروپی نیز رابطه‌ی زیر را به دست می‌آوریم:

$$\frac{S}{k} + \frac{MN}{kT} - \frac{E}{kT} = \frac{PV}{kT} \quad (1-34)$$

فشار ترمودینامیکی سیستم بنابراین به صورت زیر داده می‌شود:

$$PV = \frac{kT}{a} \sum_i \left[ g_i \ln \left( 1 + e^{\beta(-\mu - \epsilon_i)/kT} \right) \right] \quad (1-35)$$

که در حالت ماکسول-بولتزمان ( $a \rightarrow 0$ ) داریم:

$$PV=NkT \quad (1-36)$$

که معادله‌ی آشنای گاز ایده‌آل است.

### ۱-۵ گاز ایده‌آل در دیگر آنسامبل‌های کوانتوم-مکانیکی:

در آنسامبل کانونیک ترمودینامیک سیستم از تابع پارش آن به دست می‌آید.

$$Q_N(V, T) = \sum_E e^{-\beta \varepsilon} \quad (1-37)$$

که  $E$  ها ویژه مقادیر انرژی سیستم را مشخص می‌کنند و  $\beta = \frac{1}{kT}$  می‌باشد. انرژی  $E$  را می‌توان

بر حسب انرژیهای تک ذرات نوشت:

$$E = \sum_E n_\varepsilon E \quad (1-38)$$

که  $n_\varepsilon$  تعداد ذرات در حالت انرژی  $\varepsilon$  می‌باشد. مقدار  $n_\varepsilon$  ها باید رابطه‌ی زیر را ارضاء کنند.

$$\sum_E n_\varepsilon = N \quad (1-39)$$

عبارتی که برای تابع پارش می‌توانیم بنویسیم به صورت زیر است:

$$Q_N(V, T) = \sum_{\{n_i\}}' g\{n_i\} e^{-\beta \sum_\varepsilon n_\varepsilon \varepsilon} \quad (1-40)$$

و  $\{n_\varepsilon\}$  ضریب وزن آماری برای توزیع  $\{n_i\}$  است و جمع روی همهٔ حالت‌هایی است که قید (۱-۳۹)

را ارضاء می‌کنند تابع وزن آماری در حالت‌های مختلف به صورت زیر است:

$$g_{B,E}\{n_\varepsilon\} = 1 \quad (1-41)$$

$$g_{F,D}\{n_\varepsilon\} = \begin{cases} 1 & \text{if all } n_\varepsilon = 0 \text{ or } 1 \\ 0 & \text{otherwise} \end{cases} \quad (1-42)$$

$$g_{MB}\{n_\varepsilon\} = \prod_\varepsilon \frac{1}{n_\varepsilon!} \quad (1-43)$$

ابتدا در مورد آمار ماکسول-بولتزمان کار می‌کنیم با جایگزینی (۱-۴۰) در (۱-۴۳) به دست می‌آوریم:

$$Q_N(V, T) = \sum_{\{\varepsilon_\varepsilon\}} \left[ \left( \prod_\varepsilon \frac{1}{n_\varepsilon!} \right) \prod_\varepsilon (e^{-\beta \varepsilon})^{n_\varepsilon} \right] = \frac{1}{N!} \sum_{\{n_\varepsilon\}} \left[ \left( \frac{N!}{\prod_\varepsilon n_\varepsilon!} \right) \prod_\varepsilon (e^{-\beta \varepsilon})^{n_\varepsilon} \right] \quad (1-44)$$

با استفاده از نظریه‌ی چند جمله‌ای داریم :

$$Q_N(V, T) = \frac{1}{N!} \left[ \sum_{\epsilon} e^{-\beta \epsilon} \right]^N = \frac{1}{N!} [Q_1(V, T)]^N \quad (1-45)$$

با کمی محاسبه خواهیم داشت :

$$Q_1 = \sum e^{-\beta \epsilon} \xrightarrow[V \rightarrow \infty]{} \frac{2\lambda V}{\lambda^3} (2m)^{3/2} \int_0^\infty e^{-\beta \epsilon} \epsilon^{1/2} d\epsilon = \frac{V}{\lambda^3} \quad (1-46)$$

که  $\lambda$  میانگین طول موج گرمایی ذرات است در نتیجه داریم :

$$Q_N(V, T) = \frac{VN}{N! \lambda^3 N} \quad (1-47)$$

بنابراین کل ترمودینامیک این سیستم را می‌توان به دست آورد. برای مثال تابع پارش بزرگ سیستم به صورت زیر به دست می‌آید :

$$D(Z, V, T) = \sum_{N=0}^{\infty} Z^N Q_N(V, T) = \exp(ZV/\lambda^3) \quad (1-48)$$

در حالت‌های بوز-انیشتین و فرمی-دیراک با جایگزینی (1-41) و (1-42) در (1-40) خواهیم داشت:

$$Q_N(V, T) = \sum_{\{n_i\}} (e^{-\beta \sum_{\epsilon} n_{\epsilon} \epsilon}) \quad (1-49)$$

منشا تفاوت بین دو حالت کوانتمی، بوز-انیشتین و فرمی-دیراک، مربوط به مقادیر  $n_{\epsilon}$  می‌باشد، برای این دو حالت ( $B-E$ ,  $F-D$ ) تابع پارش بزرگ را می‌نویسیم :

$$D(Z, V, T) = \sum_{N=0}^{\infty} \left[ Z^N \sum_{\{N_{\epsilon}\}} e^{-\beta \sum_{\epsilon} n_{\epsilon} \epsilon} \right] = \sum_{N=0}^{\infty} \left[ \sum_{\{N_{\epsilon}\}} \prod_{\epsilon} (Ze^{-\beta \epsilon})^{n_{\epsilon}} \right] \quad (1-50)$$

جمع دو گانه در (1-50) [اولی روی تعداد  $n_{\epsilon}$  تحت قید ثابت بودن  $N$ ، و جمع بعدی روی تمام مقادیر محتمل  $N$  معادل با جمع روی تمام مقادیر محتمل  $n_{\epsilon}$  مستقل از دیگری است-در اینجا می‌توانیم بنویسیم :

$$D(Z, V, T) = \sum_{n_0, n_1, \dots} [(Ze^{-\beta \epsilon_0})^{n_0} (Ze^{-\beta \epsilon_1})^{n_1} \dots] = \left[ \sum_{n_0} (Ze^{-\beta \epsilon_0})^{n_0} \right] \left[ \sum_{n_1} (Ze^{-\beta \epsilon_1})^{n_1} \right] \dots \quad (1-51)$$